

EVALUACION DE LA CONTAMINACION ATMOSFERICA EN LA ZONA METROPOLITANA DE LIMA-CALLAO/OCTUBRE-2007

*Por: Ing. José Silva Cotrina
Ing. Zarela Montoya Cabrera
SO1 FAP Rigoberto Duránd Montes*

INDICE GENERAL**RESUMEN**

1.	Calidad del aire en la Zona Metropolitana de Lima-Callao.	2
2.	Metodología.	5
3.	Resultados del monitoreo ambiental.	8
4.	Conclusiones.	20

INDICE DE FIGURAS

Fig. 1-	Red de estaciones meteorológicas y de muestreo del polvo atmosférico sedimentable en la zona metropolitana de Lima-Callao.	7
Fig. 2-	Totales mensuales de polvo atmosférico sedimentable registrados en setiembre y octubre 2007 en Lima-Callao.	9
Fig. 3-	Análisis espacial de la concentración del polvo atmosférico Sedimentable en la cuenca atmosférica de Lima-Callao durante el mes de octubre del 2007.	10
Fig. 4-	Variación temporal horaria de la Nubosidad en la estación A.I. Jorge Chávez - octubre2007	14
Fig. 5-	Variación media diaria de la temperatura y humedad relativa durante el mes de octubre del 2007 en Ancón, Comas, El Callao, Jesús María, La Molina y Surco	14
Fig.6a-	Rosas de viento (m/s) en las estaciones de Ancón, Comas y El Callao - Octubre 2007	18
Fig.6b-	Rosas de viento (m/s) en las estaciones de Jesús María, La Molina y Surco - Octubre 2007.	19

NDICE DE CUADROS

Cuadro N ° 1.	Concentraciones de polvo atmosférico sedimentable o contaminantes sólidos sedimentables: setiembre y octubre.	8
Cuadro N ° 2.	Perspectivas de polvo atmosférico sedimentable para el mes de noviembre 2007 (t/km2.mes)	20

I. EVALUACION DE LA CONTAMINACION ATMOSFERICA EN LA ZONA METROPOLITANA DE LIMA-CALLAO / OCTUBRE - 2007

RESUMEN

El boletín del mes de octubre muestra los resultados de la evaluación del polvo atmosférico sedimentable (PAS), en relación a las condiciones meteorológicas registradas en la red automática de la Zona Metropolitana de Lima-Callao. Así, el 79 % de las estaciones de muestreo superaron el valor referencial permisible de la OMS, con una concentración media de PAS para Lima-Callao de 11,3 t/km²/mes, superior al mes de setiembre que fue de 10,8 t/km²/mes. De acuerdo a la vigilancia sinóptica, la evolución de los sistemas meteorológicos que influyen en el clima de la costa central de Perú, muestra que el anticiclón del Pacífico suroriental presentó un comportamiento variable en configuración e intensidad y claro debilitamiento en la tercera década del mes, favorecido por el paso de sistemas frontales asociados a sistemas de bajas presiones de oeste a este por la parte meridional del continente; asimismo, el Centro de Baja Presión del Chaco y la Baja Térmica Amazónica mostraron debilitamiento, la Alta de Bolivia presentó una clara configuración y un ligero desplazamiento de la Zona de Convergencia Intertropical hacia el sur de su posición normal. Las interacciones de tales sistemas están estrechamente asociados a un ligero debilitamiento del afloramiento marino e inversión térmica, presencia de vientos del sur y vientos paracas débiles, el ingreso de vientos del norte, debilitamiento de la nubosidad estratiforme baja, presencia de brillo solar en la costa peruana, y presencia en la última década de nubosidad media y alta (Fig. 4), signo del inicio de trasvaces de masas húmedas desde la Amazonía. Las condiciones descritas, son indicadores del inicio de los fenómenos de turbulencia térmica y mecánica, desde la franja central norte sur hacia el este, donde se observan ligeros incrementos en las concentraciones de polvo atmosférico sedimentable; sin embargo, los distritos costeros usualmente presentan bajas concentraciones, por la continua influencia de las brisas marinas.

1. Calidad del aire en la Zona Metropolitana de Lima-Callao

De acuerdo a la Organización Mundial de la Salud (OMS)¹, la contaminación del aire es un problema de salud ambiental importante que afecta a países desarrollados y en desarrollo de todo el mundo. En una escala global, se emiten a la atmósfera grandes cantidades de gases y partículas potencialmente nocivas, lo cual deteriora la calidad del aire, afectando la salud humana. Asimismo, daña los recursos necesarios para el desarrollo sostenible del planeta largo plazo.

Silva *et al* (2004)² refiere que la calidad del aire puede definirse como las concentraciones de contaminantes que permiten caracterizar el aire de una región con respecto a concentraciones patrón, señaladas con el fin de preservar la salud y bienestar de las personas. Otras definiciones refieren que

¹ OMS. 1999. Guías para la Calidad del Aire. Ginebra, Suiza.

² Silva J.; Concepción, E.; Montoya, Z. 2004. Evaluación de la Contaminación Atmosférica en la Zona Metropolitana de Lima-Callao. Boletín Meteorológico e Hidrológico del SENAMHI. Cap. IV. Ambiente. Lima, Perú.

es el estado de la atmósfera con respecto a la presencia de contaminantes atmosféricos potenciales.

Dichos contaminantes por lo general, se clasifican en partículas suspendidas (polvos, gases, neblinas, humos), contaminantes gaseosos (gases y vapores) y olores. La OMS¹ señala que por lo general, las partículas finas y gruesas tienen fuentes y mecanismos de formación distintos, si bien puede haber alguna superposición. El material biológico tales como bacterias, polen y esporas también puede encontrarse en las partículas gruesas. Generalmente, las partículas finas y gruesas se comportan de manera diferente en la atmósfera y estas variaciones deben considerarse al interpretar los valores que se monitorean en un sitio específico. Por lo general, las partículas finas tienen más tiempo de vida en la atmósfera (días a semanas) que las partículas gruesas y tienden a ser más uniformes cuando se dispersan en un área urbana o región geográfica grande. Con frecuencia, las partículas más grandes se depositan más rápido que las partículas pequeñas; como resultado, la masa total de partículas gruesas es menos uniforme en concentración que la de partículas finas a lo largo de una región.

La dinámica del comportamiento del polvo atmosférico sedimentable (de diámetro mayor a 20 micras) está dentro de la influencia de la fuerza de atracción gravitatoria terrestre (gravedad), por lo que sedimentan y se depositan en forma de polvo en las diferentes superficies (edificios y objetos en general de exteriores e interiores, áreas verdes, avenidas y calles con o sin asfalto), desde donde vuelven a ser inyectados al aire por los llamados flujos turbulentos de las zonas urbanas originados tanto por la interacción del movimiento de vehículos con la forma de canal de calles y avenidas, como por la interacción de la rugosidad de las superficies urbanas y los desiguales procesos de calentamiento de las mismas.³

Es necesario resaltar que la importancia de monitorear el polvo atmosférico sedimentable radica en que en los centros urbanos de zonas áridas se convierten en los contaminantes del aire de mayor trascendencia debido a la ausencia de precipitación pluvial que realice un lavado de la atmósfera por lo que su presencia se hace permanente siendo indicadores del deterioro ambiental de un lugar; así mismo, en el ciclo continuo de deposición y resuspensión, el polvo sedimentable van experimentando al mismo tiempo procesos físico químicos de meteorización dando paso a la aparición de partículas más finas del rango de las totales en suspensión.

En cuanto a contaminantes gaseosos, Godish⁴ refiere que el NO y el NO₂ son los compuestos cuya dinámica juega un papel muy importante en la química de los contaminantes atmosféricos. Sus concentraciones se incrementan significativamente en la atmósfera como resultado de los aportes de la actividad humana y además sirven como precursores de una gran variedad de reacciones atmosféricas debido a su rápida interconvertibilidad química. El término genérico para denominar estos compuestos es el de NO_x (que también

incluyen al trióxido de nitrógeno -NO₃, sesquióxido de nitrógeno N₂O₃, tetróxido de nitrógeno -N₂O₄ y pentóxido de nitrógeno -N₂O₅).

De ahí que la importancia de estudiar a los NO_x no sólo radica en que son importantes indicadores de la calidad del aire en las zonas urbanas, sino también en su implicación en la química de la atmósfera a nivel troposférico, especialmente en el papel titular que desempeñan en la formación de contaminantes secundarios perjudiciales para el ser humano, tales como ozono y ácido nítrico.⁵

Las concentraciones locales de los contaminantes del aire dependen de la magnitud de las fuentes y la eficiencia de la dispersión. Así, las variaciones cotidianas en las concentraciones están más afectadas por las condiciones meteorológicas que por los cambios en la magnitud de las fuentes, principalmente por la variable viento, toda vez que la temperatura tiene un efecto considerable sobre la salud, pero la humedad no ejerce una influencia considerable sobre la toxicidad de los contaminantes gaseosos. De otro lado, a mayor altitud, la presión parcial de oxígeno se reduce y la inhalación se incrementa como compensación. Para partículas, esta mayor inhalación conducirá a una mayor ingesta de partículas transmitidas por el aire. Por otro lado, para contaminantes gaseosos, no se espera ningún aumento en los efectos respecto a aquellos esperados en el nivel del mar.

En términos generales, la evaluación de las concentraciones en el aire de uno u otro contaminante es denominado monitoreo atmosférico, para el cual de acuerdo a Martínez *et al*⁶ significa disponer de una red de monitoreo óptima implica con un número mínimo de estaciones con localizaciones precisas, las mismas que deben permitir obtener un adecuado análisis de la distribución de la contaminación.

Actualmente, el monitoreo se realiza en sitios seleccionados como representativos de la localidad de tal manera que cubren características de área urbana, industrial, residencial, comercial, de exposición de la población o áreas de influencia.

De otro lado, otros programas de la Agencia de Protección Ambiental (EPA) refieren que antes del establecimiento de redes de monitoreo, se hagan muestreos previos en algunos puntos de la zona a evaluar. Adicionalmente a ello, los datos de emisiones de contaminantes (inventarios), información meteorológica y topográfica y la aplicación de modelos de difusión, permitirán la identificación de posibles sitios críticos o conocidos como Hot Spots en los cuales se debe localizar una estación de monitoreo. Esta es la tendencia más moderna para identificar sitios fijos para localizar estaciones de monitoreo. Las redes fijadas a largo plazo permitirán documentar tendencias de la contaminación del área de estudio.

3 Silva J. 2000 Factores meteorológicos que influyen en la dispersión de la contaminación del aire en la ciudad de Lima. Boletín de la Sociedad Geográfica de Lima. Vol.N°113:2000. Lima, Perú.
4 Godish, Thad. 1997. Air Quality. Third Edition. Lewis Publisher. New York. USA.
5 Galán M, D., et al; 2006. Implicación de los NO_x la química atmosférica. Madrid, España.

Así mismo es posible la combinación de muestreadores pasivos, con activos y automáticos. Actualmente se le está dando bastante importancia al empleo de tubos de difusión (pasivos) para los diagnósticos preliminares de redes de monitoreo.

2. Metodología

2.1 Del monitoreo de los contaminantes sólidos sedimentables

La información empleada para el análisis corresponde a la obtenida de la red de muestreo de polvo atmosférico compuesta por 38 estaciones ubicadas en el ámbito de la cuenca atmosférica de la zona metropolitana de Lima-Callao (**figura 1**). El método de muestreo pasivo desarrollado es el que se describe a continuación:

- **Fase preliminar de gabinete:** consiste en la preparación en laboratorio de las placas receptoras que serán empleadas en campo.
- **Fase de campo:** consiste en el reemplazo de las placas receptoras impregnadas de contaminantes por las que recién han sido pesadas, y su posterior evaluación en laboratorio. Observaciones tales como actividades de construcción cercana a la estación, manipulación por terceros, mantenimiento, paralización, entre otras, son anotadas en una bitácora para la validación posterior de la calidad de la información.
- **Fase de laboratorio:** por el método gravimétrico se determinan las concentraciones correspondientes a cada una de las estaciones de observación.
- **Fase de gabinete:** involucra el procesamiento, análisis e interpretación de la información, salida de reportes preliminares, cuadros, mapas, gráficos y la elaboración del boletín mensual.

2.2 Monitoreo de contaminantes gaseosos

La evaluación horaria, diaria y mensual de los gases contaminantes del aire (óxidos de nitrógeno y monóxido de carbono) en la Estación de Calidad de Aire ubicada en la Sede Central (**figura 1**) se realiza de acuerdo a la siguiente metodología:

- **Fase de campo:** operación continua de analizador automático de óxidos de nitrógeno API200E y monóxido de carbono API300A y en la estación de calidad del aire SENAMHI. Descarga de la información in situ (downloading) mediante cable RS-232, Ethernet (NOx) y software API COM. Se realiza el cambio de filtros cada 15 días en promedio y la inspección de fugas y limpieza en la línea de ingreso de muestra. Calibración según método aprobado por EPA.

⁶ Martínez, P., et al. 2004. Introducción al monitoreo atmosférico. México.

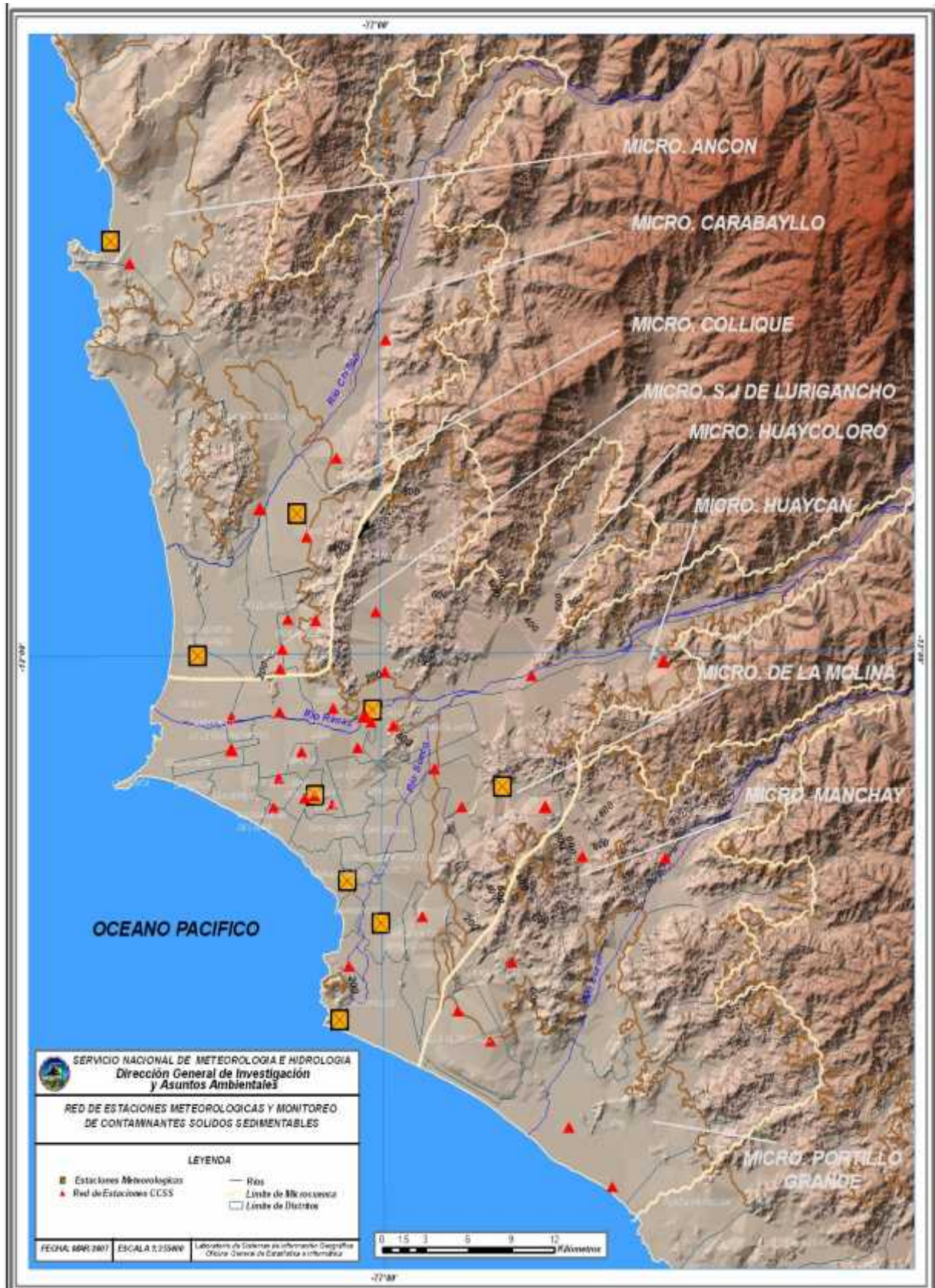
- Fase de gabinete: involucra el procesamiento, análisis e interpretación de la información tomando como referencia el D.S. N°074 –PCM-2001 “Reglamento de Estándares Nacionales de Calidad Ambiental del Aire” y la R.D. N ° 1404/2005/DIGESA/SA “Protocolo de Monitoreo de la Calidad del Aire y Gestión de los Datos”.

2.3 De la Información Meteorológica

Para la evaluación de las condiciones meteorológicas de la Zona Metropolitana de Lima-Callao en el presente informe se ha utilizado la información proveniente de los siguientes lugares de observación: automática Ancón (Ancón), Collique (Comas), automática y radiosondaje del Aeropuerto Internacional Jorge Chávez (Callao), automática Campo de Marte (Jesús María), automática Lima Este (La Molina) y automática Las Palmas (Surco), las mismas que son presentadas en la **figura 1**. La metodología de trabajo es la siguiente:

- **Fase de recopilación:** involucra el proceso de obtención y concentración de la información meteorológica de las estaciones señaladas.
- **Fase de control de calidad y consistencia:** involucra la revisión de los datos, eliminación de inconsistencias y completación de la data a través de herramientas estadísticas.
- **Fase de procesamiento, análisis e interpretación:** involucra el procesamiento numérico, gráfico, análisis e interpretación de los resultados.

Fig. 1 - Red de estaciones meteorológicas y de muestreo del polvo atmosférico sedimentable (PAS) en la Zona Metropolitana de Lima-Callao



3. Resultados del monitoreo ambiental

3.1 Del Polvo Atmosférico Sedimentable (PAS)

La evaluación del polvo atmosférico sedimentable se realiza en el ámbito de la cuenca atmosférica de Lima-Callao. La red de 38 estaciones de muestreo es presentada en la **figura 1**.

Durante el mes de octubre 2007, el 79 % de las estaciones superaron el nivel referencial permisible de la Organización Mundial de la Salud (OMS) de 5 t/km²/mes, con una media de 11,3 t/km²/mes, superior a la del mes de setiembre que fue de 10,8 t/km²/mes.

De acuerdo a lo observado en el **cuadro N° 1**, los niveles de contaminación en los principales núcleos durante octubre fueron en promedio superiores a los registrados el mes de setiembre, con excepción del núcleo del cono norte. En cuanto a los valores extremos, el máximo se registró en el distrito de Ate Vitarte con 26,4 t/km²/mes, y el mínimo de 2,9 t/km²/mes en Lince. La dirección predominante de los vientos para las estaciones de la red meteorológica automática de SENAMHI es de componente Sur (SSW y SW) para los distritos del litoral costero y centro variando a vientos de componente W hacia los distritos del este de la ciudad, y con intensidad predominantemente débil a moderada; éstos, en interacción con la rugosidad natural y artificial impuesta por las edificaciones, determinaron niveles medios superiores a los registrados el mes anterior y 2,3 veces por encima del nivel permisible.

Cuadro N° 1. Concentraciones de polvo atmosférico sedimentable o contaminantes sólidos sedimentables setiembre y octubre 2007 (t/km².mes)

Conc t/km ² .mes	N° est	% de estaciones Sobrepasa nivel ref.	Núcleos principales (puntuales y promedios)				X t/km ² /mes	Máx t/km ² /mes	Mín t/km ² /mes
			Lima Norte	Lima Centro-este	Lima Sur-este	Lima Sur			
Setiembre 2007	38	84	23,9 (Comas)	19,2 (El Agustino, El Cercado; Lurigancho)	19,0 (Pachacamac)	20,1 (V.M.T.; Lurín)	10,8	27,3 (A. Vitarte / Huaycán)	2,9 (Lince)
Octubre 2007	38	79	23,8 (Independ.)	21,3 (El Agustino, El Cercado; Lurigancho)	19,2 (Pachacamac)	21,8 (V.M.T.; Lurín)	11,3	26,4 (A. Vitarte / Huaycán)	2,9 (Lince)

amarilla, se mantuvieron por debajo del límite (5 t/km².mes), favorecidos por la influencia de las brisas marinas y políticas de gestión municipal saludables.

Fig. 3- Análisis espacial de la concentración del polvo atmosférico sedimentable en la cuenca atmosférica de Lima-Callao durante el mes de octubre 2007



3.2. De las condiciones meteorológicas

El análisis de las condiciones meteorológicas para la Zona Metropolitana de Lima-Callao durante el mes de octubre 2007, se ha realizado en base a información derivada disponible sobre la evolución sinóptica de los sistemas meteorológicos que influyen en el clima de la costa central, y de la información recopilada de la red de estaciones automáticas descrita en el acápite 2.3. A continuación se presentan las variables analizadas durante el período de muestreo del polvo atmosférico sedimentable.

a. De la Nubosidad

De acuerdo a lo presentado en la **figura 4**, el mes de octubre 2007 de manera muy similar al mes anterior, se caracterizó por la predominancia de nubosidad estratiforme baja con su base en algunas zonas muy cerca a la superficie pero mayormente entre 300 a 600 m.s.n.m, mostrando una tendencia decreciente en su densidad debido al comportamiento variable de los sistemas atmosféricos que tienden cada vez a mostrar configuraciones propias del tránsito de primavera a verano del hemisferio sur, tales como debilitamiento del Anticiclón del Pacífico sur y por lo tanto de los vientos del cuadrante sur, inversión térmica y del afloramiento marino; ligero desplazamiento de la Zona de Convergencia Intertropical hacia el sur de su posición normal y el consecuente ingreso de vientos del norte que contribuyeron al debilitamiento de la nubosidad estratiforme baja, presencia de brillo solar, incremento de la temperatura del aire, y presencia de nubosidad media y alta como indicativo del inicio de los trasvases de masas de aire húmedas desde la amazonía. La Zona Metropolitana de Lima-Callao, muestra sus distritos costeros aún con cubierta nubosa, incremento de temperatura del aire y disminución de la fina garúa, y en los distritos del este, mayor frecuencia de días con cielos despejados.

b. De la Temperatura y Humedad Relativa

- El análisis medio mensual de las variables temperatura y humedad relativa de las estaciones analizadas: automática Ancón, Collique, automática sinóptica y de radiosondaje A.I. Jorge Chávez, automática Campo de Marte, Lima Este y Las Palmas, señala los días 30 y 31 de octubre como los más cálidos con una máxima media de 16,5 ° C y el día 12 como el más frío con un valor medio de 14,2° C. Con respecto a la humedad relativa, el día más seco fue el 22 con la mínima media de 80 %, y el más húmedo el 12 de octubre (89 %). Ver **figura 5**.
- Del análisis de la variación temporal diaria de la temperatura (° C) y humedad relativa (%) extremas se observa lo siguiente: la temperatura máxima fluctuó entre los valores de 13,7 ° C en La Molina a 21,2° C en Comas y la mínima fluctuó entre 11,2 ° C en La Molina a 16,4 ° C en Ancón; la temperatura media del mes, considerando las estaciones analizadas, fue de 15,3 ° C. En cuanto a las humedades relativas, la máxima fluctuó entre 82 % en el Callao a 99 % en La Molina y Surco; y la mínima osciló entre 59 % en Comas a 88 % en La Molina (ver **figuras**

6a, b y c); la humedad relativa media fue de 85 %. Durante el mes de octubre se presentaron en promedio condiciones térmicas moderadamente frías alternadas con días con brillo solar hacia el mediodía extendiéndose hacia algunas horas de la tarde.

c. Del viento superficial

La información horaria de viento superficial (velocidad y dirección) correspondiente al mes de setiembre es presentada en la **figura 7** para el período matutino (07:00 – 11:00), vespertino (12:00 – 18:00) y nocturno (19:00 – 06:00), respectivamente. Este análisis es importante por cuanto esta variable meteorológica influye directamente en los procesos de transporte y dispersión de los contaminantes determinando tanto la localización como los niveles altos o bajos de concentración de éstos.

- Durante el período matutino (7:00 a 11:00 horas), predominaron vientos de intensidad media débil (< 3 m/s) en la mayoría de las estaciones analizadas, con excepción de La Molina (Lima Este) que reportó velocidades medias de 4,5 m/s. Sólo se registró ocurrencia significativa de calmas en El Callao (18 %).
- Durante el período vespertino (12:00 a 18:00 horas) se registraron vientos de intensidad media débil en Ancón (2,9 m/s) y Jesús María (1,9 m/s); mientras que en Comas, El Callao y Surco predominaron velocidades medias moderadas entre 3,9; 3,9; y 3,5 m/s, respectivamente. En la estación Lima Este (La Molina) predominaron velocidades medias fuertes (> 6 m/s). No se registraron ocurrencias significativas de calmas.
- Durante el período nocturno (19:00 a 6:00 horas) se registraron vientos de intensidad media débil en todas las estaciones analizadas (< 3 m/s). No se registraron ocurrencias significativas de calmas.
- En cuanto a las direcciones predominantes del viento superficial, en horas matutinas (7:00-11:00 horas) la estación Ancón reportó direcciones del SSW (26 %) y SW (21 %), manteniéndose hacia horas vespertinas con frecuencias del 31 y 42 %, y hacia horas de la noche con 64 y 10 %, respectivamente. En la estación Collique (Comas) hacia horas de la mañana predominaron direcciones del SW (46 %), SSW (23 %) y WSW (18 %), que se mantuvieron en horas vespertinas con predominancia del SW con frecuencias de 68, 17 y 13 %, y en horas de la noche 44, 25, 30 % respectivamente. La estación A.I. Jorge Chávez (Callao) registró direcciones principalmente del S (39 %), W (13 %) y SW (10 %); variando a S (63 %) y SSW (18 %) en horas vespertinas, que se mantuvieron hacia la noche, aunque con mayor predominancia de vientos de dirección S (72) y SSW (8 %). En la estación Campo de Marte, se mantuvieron direcciones del SW y WSW en todo el

día; así, en horas matutinas con frecuencias del 50 y 30%, con mayor frecuencia del SW en horas vespertinas (76 %) y de 44 y 22 % hacia horas de la noche, respectivamente. En la estación Lima Este, predominaron vientos del W (44 %)y WNW (37 %) en horas de la mañana y que se mantuvieron similares en horas vespertinas con frecuencias de 44 y 53 %; mientras que en horas de la noche, se presentaron además vientos del E (8 %) y ESE (8 %). En la estación Las Palmas, predominaron vientos del SSE (29 %), WSW (23 %) y S (16 %) en horas matutinas; del SSE (38 %), S (32 %) y WSW (16 %), en horas vespertinas y manteniéndose vientos de componente S en horas de la noche (SSE – 59 % y S – 17 %).

d. Del perfil de la troposfera

De acuerdo a la vigilancia sinóptica, durante el mes de octubre, la evolución de los sistemas meteorológicos que influyen en el clima de la costa central de Perú, muestra que el anticiclón del Pacífico suroriental presentó un comportamiento variable en configuración e intensidad y claro debilitamiento en la tercera década del mes, favorecido por el paso de sistemas frontales asociados a sistemas de bajas presiones de oeste a este por la parte meridional del continente; asimismo, el Centro de Baja Presión del Chaco y la Baja Térmica Amazónica mostraron debilitamiento e interacciones con la Zona de Convergencia del Atlántico sur; la Alta de Bolivia presentó una clara configuración y un ligero desplazamiento de la Zona de Convergencia Intertropical hacia el sur de su posición normal. Las interacciones de tales sistemas están estrechamente asociados, en la costa peruana central, a un ligero debilitamiento del afloramiento marino e inversión térmica con su base en promedio alrededor de los 700 msnm y con gran disminución de su influencia, en los distritos del este de la capital; asimismo, se registró la presencia de vientos del sur y vientos paracas débiles, el ingreso de vientos del norte, debilitamiento de la nubosidad estratiforme baja, presencia de brillo solar en la costa peruana, y presencia en la última década de nubosidad media y alta (Fig. 4), signo del inicio de trasvaces de masas de aire húmedas desde la Amazonía.

Figura 4. Variación temporal horaria de la Nubosidad en la estación A.I. Jorge Chávez - octubre 2007

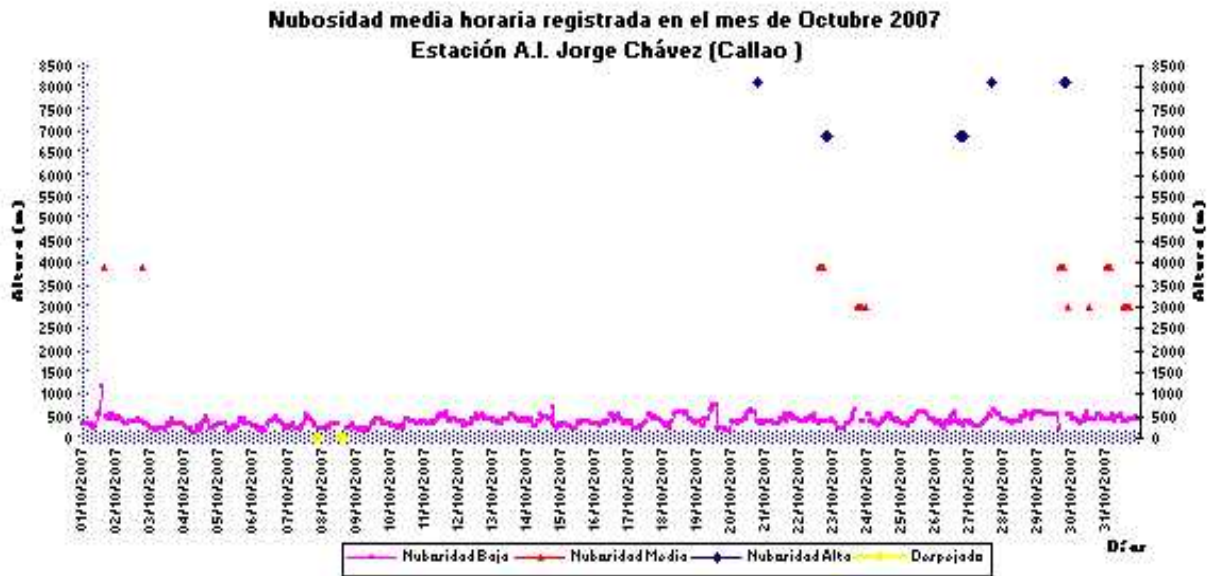
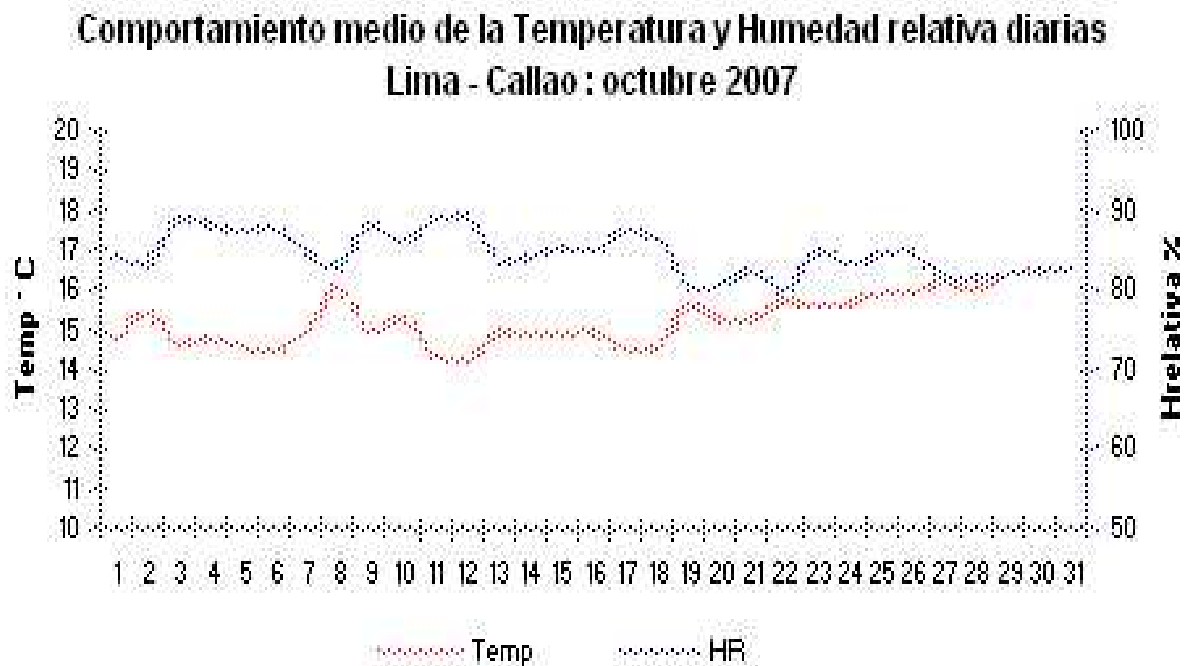
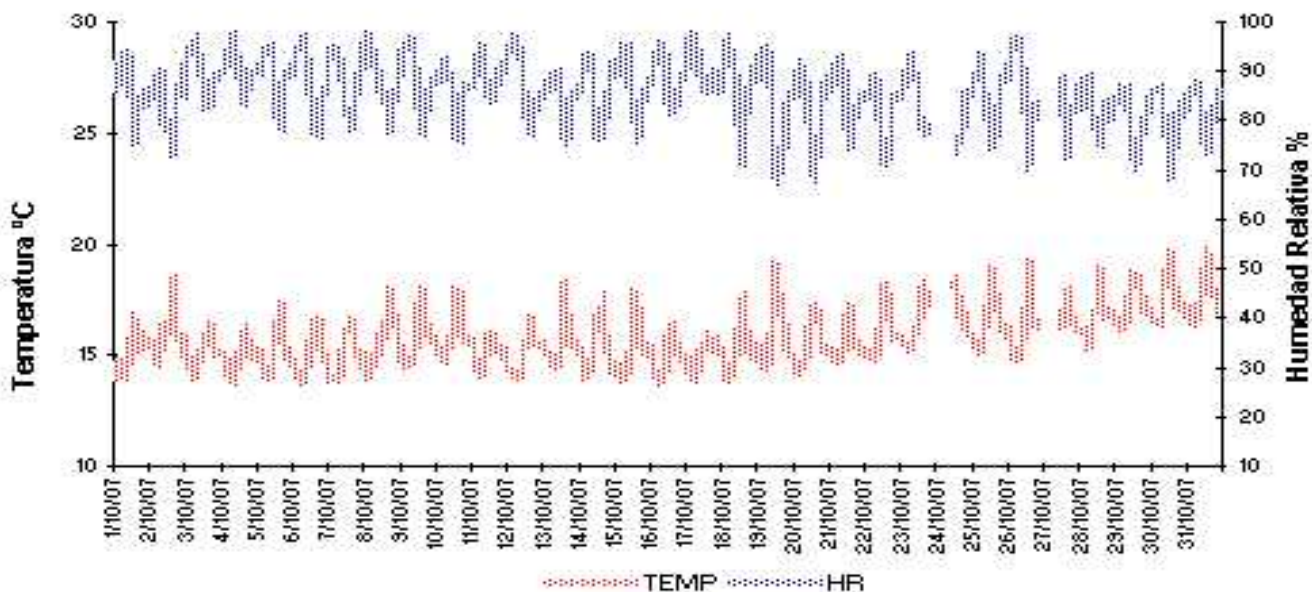


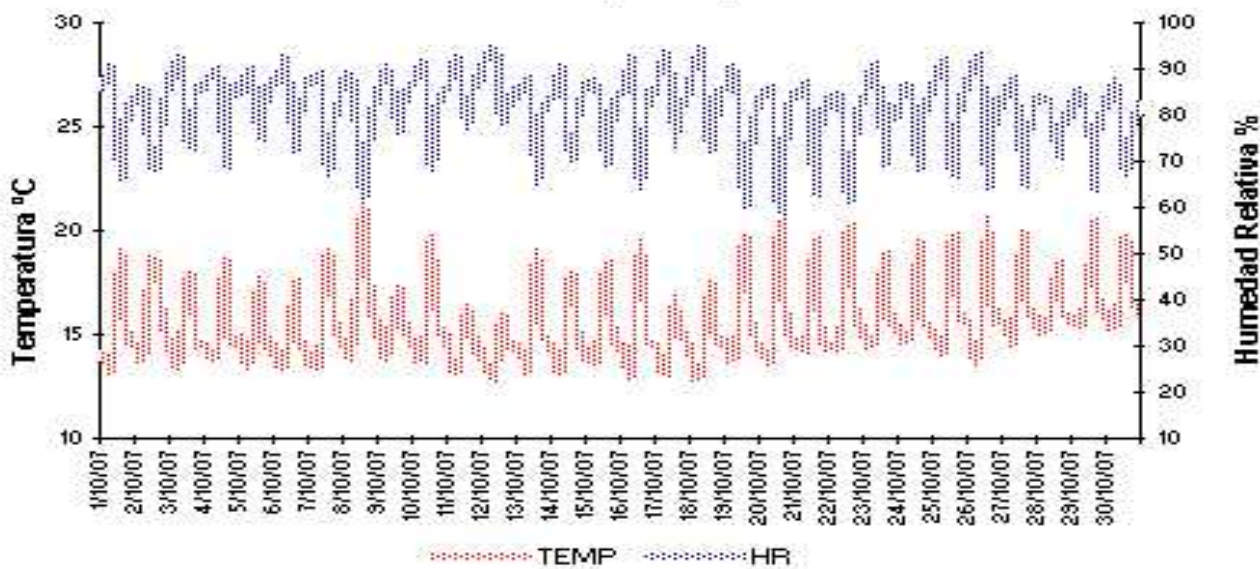
Figura 5.- Variación media diaria de la temperatura y humedad relativa durante el mes de octubre del 2007 en Ancón, Comas, El Callao, Jesús María, La Molina y Surco

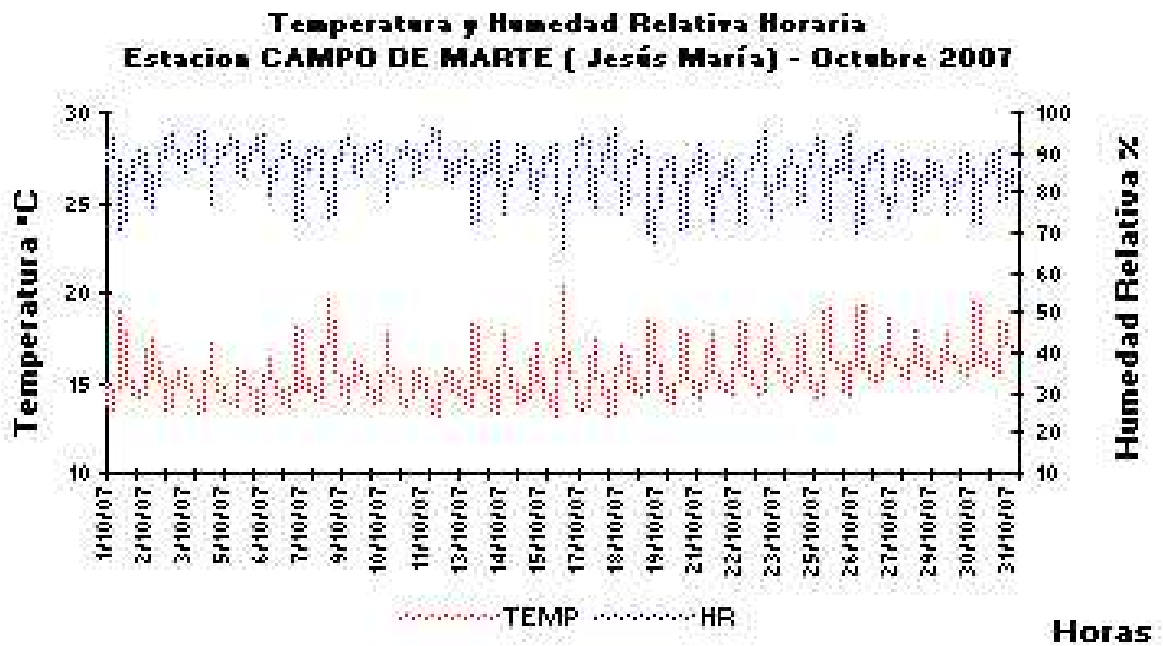
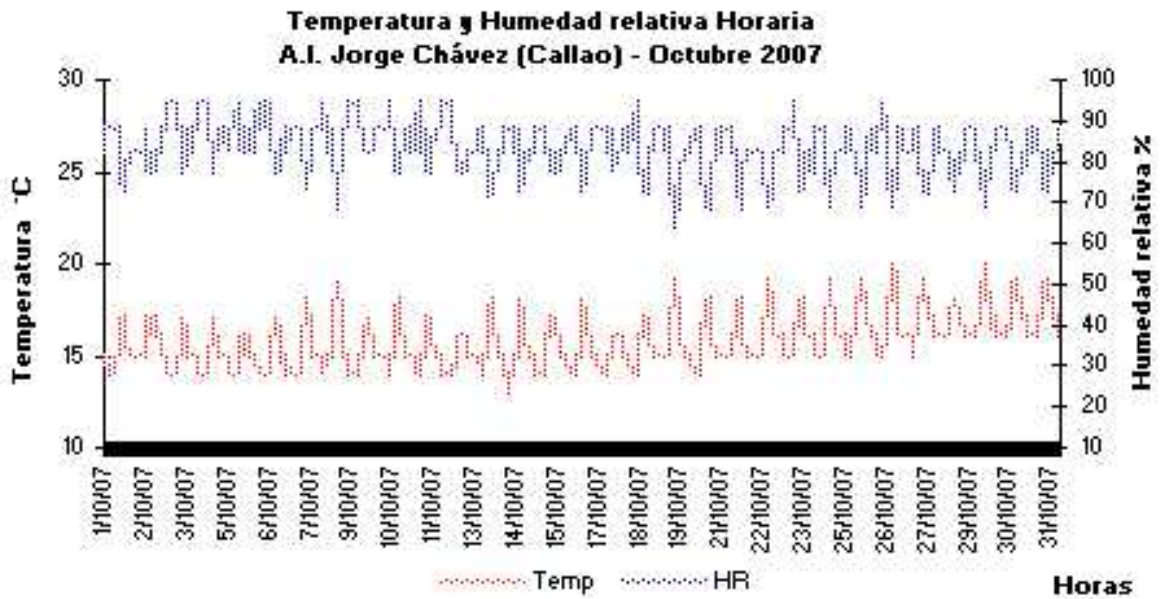


**Temperatura y Humedad Relativa Horaria
Estacion ANCON - Octubre 2007**

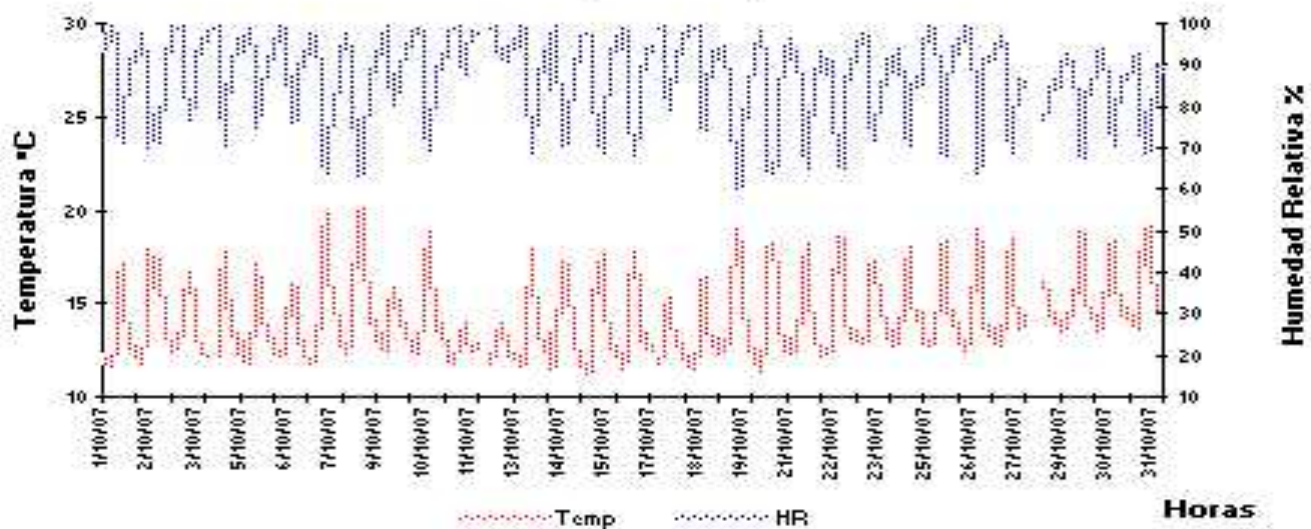


**Temperatura y Humedad Relativa Horaria
Estacion COLLIQUE (Comas) - Octubre 2007**

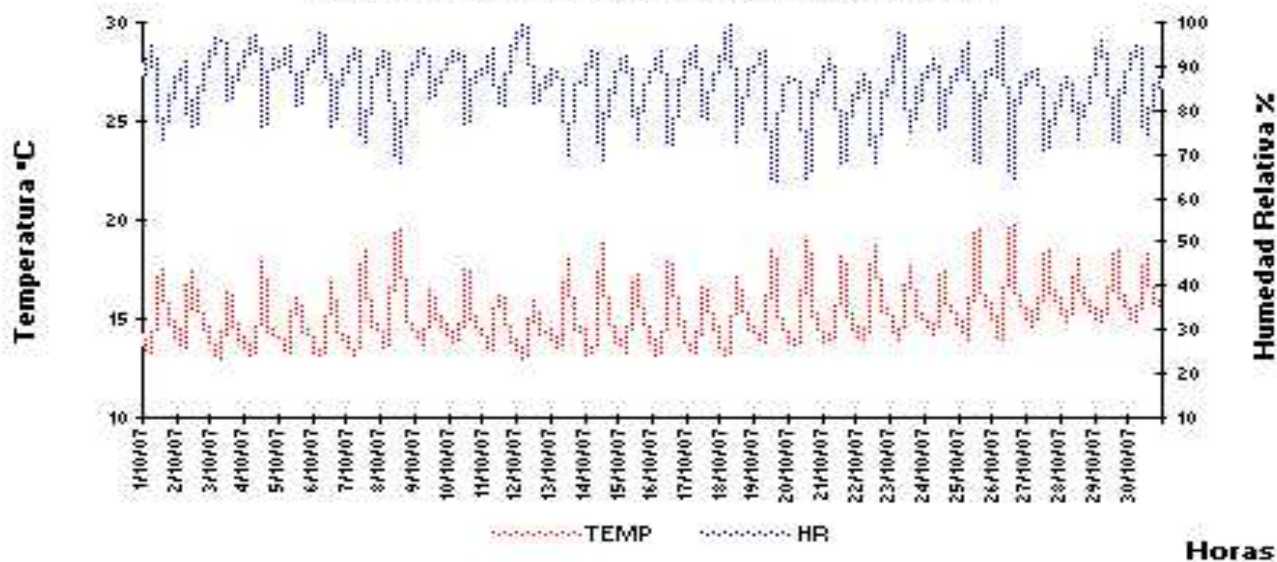




**Temperatura y Humedad Relativa Horaria
Estacion LIMA ESTE (La Molina) - Octubre 2007**



**Temperatura y Humedad Relativa Horaria
Estacion LAS PALMAS (Surco) - Octubre 2007**



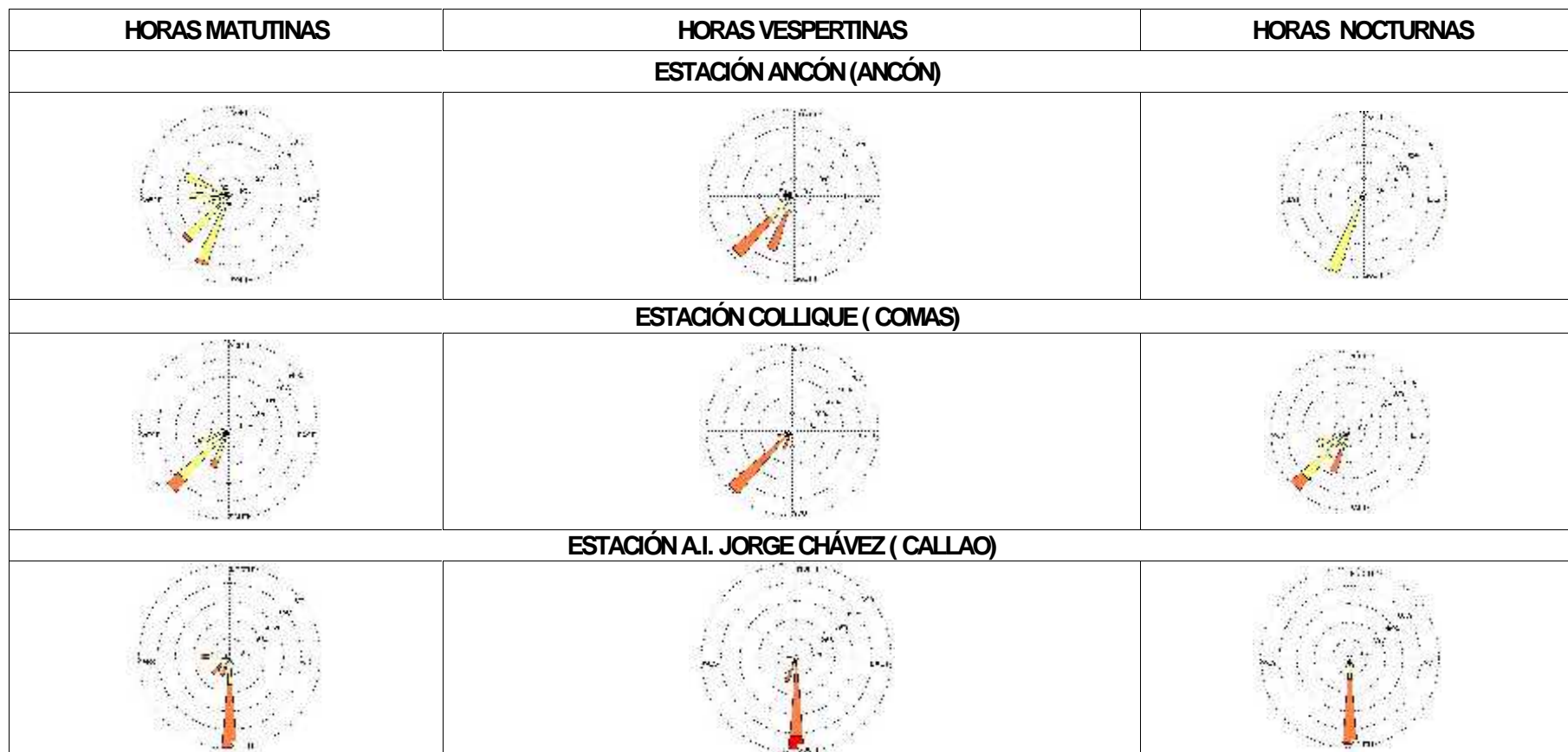


Fig 6a – Rosas de viento (m/s) en las estaciones de Ancón, Comas y El Callao - Octubre 2007

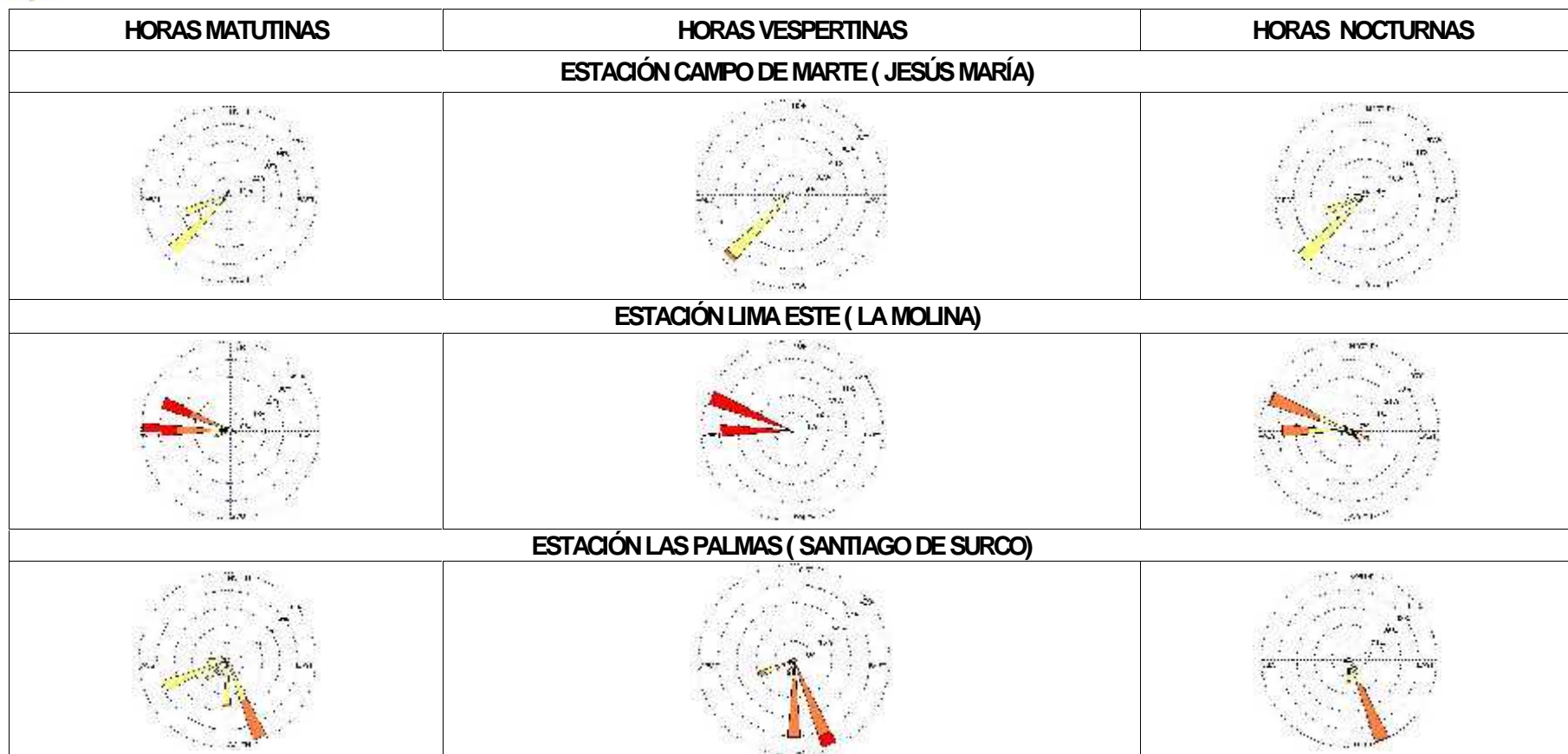


Fig 6b – Rosas de viento (m/s) en las estaciones de Jesús María, La Molina y Surco - Octubre 2007

4. Perspectivas Ambientales: Del Polvo Atmosférico Sedimentable

Tomando como referencia las condiciones climáticas de superficie pronosticadas para noviembre, el comportamiento de la base de la inversión térmica y las tendencias proporcionadas por modelos estadísticos, se prevé para el próximo mes que las concentraciones del polvo atmosférico sedimentable en promedio se mantengan.

Para una tendencia más puntual, se recoge el comportamiento referencial de 5 estaciones de la red de Lima y Callao; éstas han sido elegidas considerando su ubicación representativa y/o amplia data histórica, son: Lima Norte (Independencia) Lima Centro (Cercado I), Lima Este (Cercado II/ zona este) Lima Oeste (Callao) y Lima Sur (VMT), según se observa en el cuadro todas están por encima del nivel referencial permisible de la OMS.

Cuadro N° 2. Perspectivas de polvo atmosférico sedimentable para el mes de noviembre 2007 (t/km2.mes)

ZONA	ESTIMACIÓN	INTERVALO DE
		CONFIANZA
LIMA NORTE	23.9	19.3 - 26.0
LIMA CENTRO	6.7	5.5 - 7.2
LIMA ESTE	22.4	18.2 - 25.4
LIMA OESTE	5.4	4.8 - 5.6
LIMA SUR	25.6	25.3 - 25.9

Dada la naturaleza del contaminante (partículas gruesas sujetas a fuerzas gravitatorias) generado principalmente por la industria de la construcción, mala disposición de residuos sólidos, pistas deterioradas o sin pavimento, desgaste de llantas y frenos de los vehículos, y actividades de limpieza pública, la estación de Lima Centro presenta bajas concentraciones por estar exenta de estas fuentes.

5. Conclusiones

- ✓ Para el mes de octubre, las concentraciones del polvo atmosférico sedimentable fueron superiores en tres de los principales núcleos respecto a los registros del mes de setiembre. La configuración resultante fue de 4 centros de alta contaminación: el primer núcleo se presentó en Lima norte con 23,8 t/km2.mes; el segundo en Lima centro-este con un valor

medio de 21,3 t/km².mes; el tercero en Lima sur-este con 19,2 t/km².mes; y el cuarto en Lima sur con una media de 21,8 t/km².mes.

- ✓ El 79 % de las estaciones sobrepasaron el nivel referencial establecido por la Organización Mundial de la Salud. La media mensual para las estaciones evaluadas fue de 11,3 t/km².mes, valor superior al del mes anterior; el valor máximo registrado fue de 26,4 t/km².mes en Ate Vitarte y el mínimo de 2,9 t/km².mes en Lince.
- ✓ En cuanto a la nubosidad horaria, fue aún predominante la nubosidad baja, de tipo estratiforme, con su base entre 300 y 500 m.s.n.m, durante casi todos los días del mes pero con tendencia decreciente de su densidad, pero dado todavía, condiciones de cielo cubierto en la franja de distritos costeros de la Zona Metropolitana de Lima-Callao; excepto en los distritos del este, donde se presenta con mayor frecuencia días con condiciones que varían de nublado parcial a nubes dispersas y despejado.
- ✓ En cuanto al comportamiento de la temperatura y humedad relativa del aire, las medias de las estaciones analizadas en octubre fueron de 15,3 ° C y 84 %. Así mismo, los días más cálidos fueron el 30 y 31 de octubre con una máxima media de 16,5 ° C; y el día 12 como el más frío con un valor de 14,2 ° C. Con respecto a la humedad relativa, el día más seco fue el 22 con la mínima media de 80,2 %, y el más húmedo el 12 de octubre (89,1%).
- ✓ Con respecto al análisis de las intensidades del viento superficial en los períodos analizados, en horas matutinas predominaron vientos de intensidad media débil, con excepción de La Molina; en horas vespertinas, la intensidad media de los vientos fue principalmente débiles, moderadas como fuertes (La Molina) superiores a 6 m/s; mientras que hacia horas de la noche se registraron intensidades medias débiles. En cuanto a las direcciones predominantes, se registraron vientos de componente sur en todas las horas del día, principalmente de dirección SSW y SW; mientras que en la estación Lima Este (La Molina) predominaron direcciones del SSE y WSW.
- ✓ Durante el mes de octubre, la inversión térmica por subsidencia con su base alrededor de los 700 m.s.n.m mostró en promedio condiciones de gradual debilitamiento, debido al comportamiento variable del Anticiclón del Pacífico Sur con un claro debilitamiento en la tercera década, que ocasionó debilitamiento de los vientos del sur y del afloramiento Marino; ingreso de los vientos del norte, debilitamiento de la nubosidad estratiforme baja, presencia de nubosidad media y alta que indican el inicio de trasvases de masas de aire húmedas desde la Amazonía.